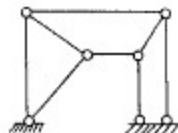


1. 下列与材料的孔隙率没有关系的是()。
 - A. 强度
 - B. 绝热性
 - C. 密度
 - D. 耐久性
2. 石灰的陈伏期应为()。
 - A. 两个月以上
 - B. 两星期以上
 - C. 一个星期以上
 - D. 两天以上
3. 在不影响混凝土强度的前提下,当混凝土的流动性太大或太小时,调整的方法通常是()。
 - A. 增减用水量
 - B. 保持水灰比不变,增减水泥用量
 - C. 增大或减少水灰比
 - D. 增减砂石比
4. 在混凝土配合比设计中,选用合理砂率的主要目的是()。
 - A. 提高混凝土的强度
 - B. 改善拌合物的和易性
 - C. 节省水泥
 - D. 节省粗骨料
5. 在下列混凝土的技术性能中,正确的是()。
 - A. 抗剪强度大于抗压强度
 - B. 轴心抗压强度小于立方体抗压强度
 - C. 混凝土不受力时内部无裂纹
 - D. 徐变对混凝土有害无利
6. 对钢材的冷弯性能要求越高,实验时采用的()。
 - A. 弯心直径愈大,弯心直径对试件直径的比值越大
 - B. 弯心直径愈小,弯心直径对试件直径的比值越小
 - C. 弯心直径愈小,弯心直径对试件直径的比值越大
 - D. 弯心直径愈大,弯心直径对试件直径的比值越小
7. 导致木材物理力学性质发生改变的临界含水率是()。
 - A. 最大含水率
 - B. 平衡含水率
 - C. 纤维饱和点
 - D. 最小含水率
8. 进行往返路线水准测量时,从理论上说 $\sum h_{往}$ 与 $\sum h_{返}$ 之间应具备的关系是()。
 - A. 符号相反,绝对值不等
 - B. 符号相反,绝对值相等
 - C. 符号相同,绝对值相等
 - D. 符号相同,绝对值不等
9. 某电磁波测距仪的标称精度为 $\pm (3 + 3\text{ppm})\text{mm}$,用该仪器测得 500m 距离,如不顾及其他因素影响,则产生的测距中误差为()mm。
 - A. ± 18
 - B. ± 3
 - C. ± 4.5
 - D. ± 6
10. 确定地面点位相对位置的三个基本观测测量是水平距离及()。
 - A. 水平角和方位角
 - B. 水平角和高差
 - C. 方位角和竖直角
 - D. 竖直角和高差
11. 磁偏角和子午线收敛角分别是指磁子午线、中央子午线与()的夹角。
 - A. 坐标纵轴
 - B. 指北线
 - C. 坐标横轴
 - D. 真子午线
12. 测站点与量目标点位置不变,但仪器高度改变,则此时所测得的()。

- A.水平角改变,竖直角不变 B.水平角改变,竖直角也改变
C.水平角不变,竖直角改变 D.水平角不变,竖直角也不变
13. 建筑工程开工前,建设单位应当按照国家有关规定向工程所在地以下()部门申请领取施工许可证。
A.市级以上政府建设行政主管部门 B.县级以上城市规划
C.县级以上政府建设行政主管部门 D.乡、镇级以上政府主管
- 14.《中华人民共和国城市房地产管理法》中所称房地产交易不包括()。
A.房产中介 B.房地产抵押 C.房屋租赁 D.房地产转让
15. 城市详细规划应当在城市总体规划或分区规划的基础上,对城市近期区域内各项建设做出具体规划。详细规划应包括()。
① 区域规划和土地利用总体规划;
② 规划地段的各项建设的具体用地范围;
③ 建设密度和高度等控制指标;
④ 总平面布置和竖向规划;
⑤ 工程管线综合规划。
A.①②③④ B.②③④⑤
C.①③④⑤ D.①②④⑤
16. 注册结构工程师的执业范围包括()。
① 结构工程设计和设计技术咨询;
② 建筑物、构筑物、工程设施等调查和鉴定;
③ 结构工程的鉴定和加固;
④ 对本人主持设计的项目进行施工指导和监督;
⑤ 对本人主持设计的项目进行监理。
A.①②③④ B.①②③⑤
C.①②④⑤ D.①③④⑤
17. 泥浆护壁成孔过程中,泥浆的作用除了保护孔壁、防止塌孔外,还有()。
A.提高钻进速度 B.排出土渣
C.遇硬土层易钻进 D.保护钻机设备
18. 关于梁模板拆除的一般顺序,下面描述正确的是()。
Ⅰ.先支的先拆,后支的后拆
Ⅱ.先支的后拆,后支的先拆
Ⅲ.先拆除承重部分,后拆除非承重部分
Ⅳ.先拆除非承重部分,后拆除承重部分
A.Ⅰ、Ⅲ B.Ⅱ、Ⅳ C.Ⅰ、Ⅳ D.Ⅱ、Ⅲ
19. 在进行钢筋混凝土框架结构的施工过程中,对混凝土集料的最大粒径的要求,下面正确的是()。
A.不超过结构最小截面的 1/4,钢筋间最小净距的 1/2
B.不超过结构最小截面的 1/4,钢筋间最小净距的 3/4

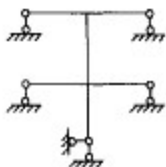
- C. 不超过结构最小截面的 $1/2$, 钢筋间最小净距的 $1/2$
D. 不超过结构最小截面的 $1/2$, 钢筋间最小净距的 $3/4$
20. 影响冷拔低碳钢丝质量的主要因素是()。
- A. 原材料的质量
B. 冷拔的次数
C. 冷拔总压缩率
D. A 和 C
21. 在有关流水施工的概念中, 下列正确的是()。
- A. 对于非节奏专业流水施工, 工作队在相邻施工段上的施工, 可以间断
B. 节奏专业流水的垂直进度图表中, 各个施工相邻过程的施工进度线是相互平行的
C. 在组织搭接施工时, 应先计算相邻施工过程的流水步距
D. 对于非节奏专业流水施工, 各施工段上允许出现暂时没有工作队投入施工的现象
22. 对适筋梁, 受拉钢筋刚屈服时, 则()。
- A. 承载力达到极限
B. 受压边缘混凝土达到极限压应变 ϵ_{cu}
C. 受压边缘混凝土被压碎
D. $\epsilon_s = \epsilon_y, \epsilon_c < \epsilon_{cu}$
23. 提高受弯构件抗弯刚度(减小挠度)最有效的措施是()。
- A. 加大截面宽度
B. 增加受拉钢筋截面面积
C. 提高混凝土强度等级
D. 加大截面的有效高度
24. 在结构抗震设计中, 框架结构在地震作用下()。
- A. 允许在框架梁端处形成塑性铰
B. 允许在框架节点处形成塑性铰
C. 允许在框架柱端处形成塑性铰
D. 不允许框架任何位置形成塑性铰
25. 单层工业厂房设计中, 若需要将伸缩缝、沉降缝、抗震缝合成一体时, 其正确的设计构造做法为()。
- A. 在缝处从基础底至屋顶把结构分成两部分, 其缝宽应满足三种缝中的最大缝宽的要求
B. 在缝处只需从基础顶以上至屋顶把结构分成两部分, 其缝宽取三者的最大值
C. 在缝处只需从基础底至屋顶把结构分成两部分, 其缝宽取三者的平均值
D. 在缝处只需从基础底至屋顶把结构分成两部分, 其缝宽按抗震缝要求设置
26. 对钢材进行冷加工, 使其产生塑性变形引起钢材硬化的现象, 使钢的()。
- A. 强度、塑性和韧性提高
B. 强度和韧性提高, 塑性降低
C. 强度和弹性模量提高, 塑性降低
D. 强度提高, 塑性和韧性降低
27. 钢结构轴心受压构件应进行()计算。
- A. 强度、刚度、局部稳定
B. 强度、局部稳定、整体稳定
C. 强度、整体稳定
D. 强度、刚度、局部稳定、整体稳定
28. 计算钢结构构件的疲劳和正常使用极限状态的变形时, 荷载的取值为()。
- A. 采用标准值
B. 采用设计值
C. 疲劳计算采用设计值, 变形验算采用标准值

- D. 疲劳计算采用设计值, 变形验算采用标准值并考虑长期荷载的作用
29. 在荷载作用下, 侧焊缝的计算长度大于某一数值时, 其超过部分在计算中一般不予考虑, 其值为()。
- A. $40h_f$ B. $60h_f$ C. $80h_f$ D. $100h_f$
30. 在确定砌体强度时, 下列()项叙述是正确的。
- A. 块体的长宽对砌体抗压强度影响很小
B. 水平灰缝厚度越厚, 砌体抗压强度越高
C. 砖砌筑时含水量越大, 砌体抗压强度越高, 但抗剪强度越低
D. 对于提高砌体抗压强度而言, 提高块体强度比提高砂浆强度更有效
31. 砌体结构设计时, 必须满足下列中的()项要求。
- ① 满足承载能力极限状态;
② 满足正常使用极限状态;
③ 一般工业和民用建筑中的砌体构件, 可靠指标 $\beta \geq 3.2$;
④ 一般工业和民用建筑中的砌体构件, 可靠指标 $\beta \geq 3.7$ 。
- A. ①②③ B. ①②④ C. ①③ D. ①④
32. 砌体结构为刚性方案、刚弹性方案或弹性方案的判别因素是()。
- A. 砌体的高厚比
B. 砌体的材料与强度
C. 屋盖、楼盖的类别与横墙的刚度及间距
D. 屋盖、楼盖的类别与横墙的间距, 而与横墙本身条件无关
33. 无洞口墙梁和开洞口墙梁在顶部荷载作用下, 可采用()进行分析。
- A. 两种墙梁均采用梁 - 拱组合模型
B. 无洞口墙梁采用梁 - 拱组合模型, 开洞口墙梁采用偏心拉杆拱模型
C. 无洞口墙梁采用偏心拉杆拱模型, 开洞口墙梁采用梁 - 拱组合模型
D. 无洞口墙梁采用梁 - 柱组合模型, 开洞口墙梁采用偏心压杆拱模型
34. 图示体系是几何()的体系。
- A. 不变
B. 不变且无多余约束
C. 瞬变
D. 不变, 有一个多余约束



题 34 图

35. 在建立虚功方程时, 力状态与位移状态的关系是()。
- A. 彼此独立无关
B. 位移状态必须是由力状态产生的
C. 互为因果关系
D. 力状态必须是由位移状态引起的
36. 图示刚架中, M_{AC} 等于()。
- A. $2\text{kN} \cdot \text{m}$ (右拉) B. $2\text{kN} \cdot \text{m}$ (左拉)
C. $4\text{kN} \cdot \text{m}$ (右拉) D. $6\text{kN} \cdot \text{m}$ (左拉)



题 41 图

42. 多自由度体系的自由振动是()。

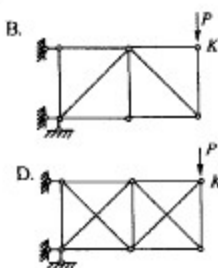
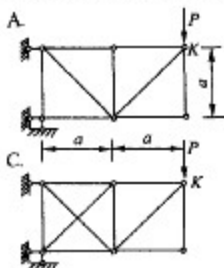
A. 简谐振动

B. 若干简谐振动的叠加

C. 衰减周期振动

D. 难以确定

43. 图示桁架 K 点的竖向位移为最小的图为()。



题 43 图

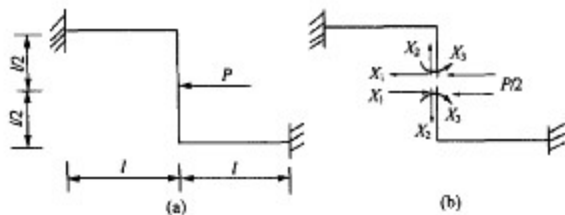
44. 图示结构取图(b) 为力法基本体系, EI 为常数, 下列() 是错误的。

A. $\delta_{23} = 0$

B. $\delta_{31} = 0$

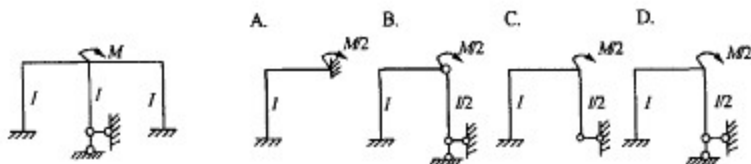
C. $\Delta_{2P} = 0$

D. $\delta_{12} = 0$



题 44 图

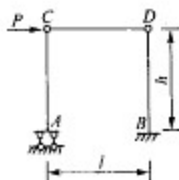
45. 图示结构利用对称性简化后的计算简图为()。



题 45 图

46. 图示结构 M_{AC} 和 M_{BD} 正确的一组为()。

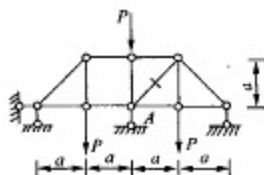
- A. $M_{AC} = M_{BD} = Ph$ (左边受拉)
 B. $M_{AC} = Ph$ (左边受拉), $M_{BD} = 0$
 C. $M_{AC} = 0$, $M_{BD} = Ph$ (左边受拉)
 D. $M_{AC} = Ph$ (左边受拉), $M_{BD} = 2Ph/3$ (左边受拉)



题 46 图

47. 图示桁架杆 1 的轴力为()。

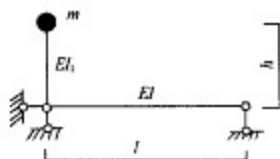
- A. $2P$ B. $2\sqrt{2}P$ C. $-2\sqrt{2}P$ D. 0



题 47 图

48. 图示体系杆的质量不计, $EI_1 = \infty$, 则体系的自振频率 ω 等于()。

- A. $\sqrt{\frac{3EI}{ml}}$
 B. $\frac{1}{h} \sqrt{\frac{3EI}{ml}}$
 C. $\frac{2}{h} \sqrt{\frac{EI}{ml}}$
 D. $\frac{1}{h} \sqrt{\frac{EI}{3ml}}$



题 48 图

49. 结构试验分为生产性试验和研究性试验两类, 下列() 不属于研究性试验解决的问题。

- A. 综合鉴定建筑物的设计和施工质量 B. 为发展和推广新结构提供实践经验
 C. 为制定设计规范提供依据 D. 验证结构计算理论的假定

50. 试验装置设计和配置应满足一定的要求, 下列() 项要求是不对的。

- A. 采用先进技术, 满足自动化的要求, 减轻劳动强度, 方便加载, 提高试验效率和质量
 B. 应使试件的跨度、支承方式、支撑等条件和受力状态满足设计计算简图, 并在整个试验过程中保持不变
 C. 试验装置不应分担试件应承受的试验荷载, 也不应阻碍试件变形的自由发展
 D. 试件装置应有足够的强度和刚度, 并有足够的储备, 在最大试验荷载作用下, 保证加载设备参与结构试件工作

51. 一电阻应变片 ($R = 120\Omega$, $K = 2.0$), 粘贴于混凝土轴心受拉构件平行于轴线方向, 试件材料的弹性模量为 $E = 2 \times 10^5 \text{ MPa}$, 若加载至应力 $\sigma = 400 \text{ MPa}$ 时, 应变片的阻值变化 dR 为() Ω 。

- A. 0.24 B. 0.48 C. 0.42 D. 0.96

52. 下列钢筋混凝土构件的各测量参数中, () 不适宜用位移计测量。

A. 简支梁的转角 B. 截面曲率 C. 顶部截面应变 D. 受扭构件应变

53. () 不能用超声法进行检测。

A. 混凝土的裂缝 B. 混凝土的强度
C. 钢筋的位置 D. 混凝土的内部缺陷

54. 黏性土处于() 状态时,含水量减小土体积不再发生变化。

A. 固体 B. 可塑 C. 流动 D. 半固体

55. 下列表示土的饱和度的表述中,() 项是正确的。

A. 土中水的质量与土粒质量之比
B. 土中水的质量与土的质量之比
C. 土中水的体积与孔隙体积之比
D. 土中水的质量与土粒质量加水的质量的和之比

56. 下列说法中错误的是()。

A. 地下水位的升降对土中自重应力有影响
B. 地下水位的下降会使土中自重应力增大
C. 当地层中有不透水层存在时,不透水层中的静水压力为零
D. 当地层中存在有承压水层时,该层的自重应力计算方法与潜水层相同,即该层土的重度取有效重度来计算

57. 某土层压缩系数为 0.50MPa^{-1} ,天然孔隙比为 0.8,土层厚 1m,已知该土层受到的平均附加应力 $\bar{\sigma}_z = 60\text{kPa}$,则该土层的沉降量为()。

A. 16.3 B. 16.7 C. 30 D. 33.6

58. 土坡高度为 8m,土的内摩擦角 $\varphi = 10^\circ$ ($N_c = 9.2$), $c = 25\text{kPa}$, $\gamma = 18\text{kN/m}^3$ 的土坡,其稳定安全系数为()。

A. 1.6 B. 1.0 C. 2.0 D. 0.5

59. 在设计柱下条形基础的基础梁最小宽度时,下列() 项为正确的。

A. 梁宽应大于柱截面的相应尺寸
B. 梁宽应等于柱截面的相应尺寸
C. 梁宽应大于柱截面宽高尺寸中的最小值
D. 由基础梁截面强度计算确定

60. 某深沉搅拌桩桩长 8m,桩径 0.5m,桩体压缩模量为 120MPa ,置换率为 25%,桩间土承载力特征值 110kPa ,压缩模量为 6MPa ,加固区受到平均应力为 121kPa ,加固区的变形量为()mm。

A. 13 B. 25 C. 28 D. 26